



NetWorks Sp. z o.o.
Laboratorium Badań Środowiskowych
ul. Józefa Piłsudskiego 3
00-728 Warszawa
e-mail: Laboratorium@networks.pl



AB 419

S P R A W O Z D A N I E 4377/2024/OS
Z POMIARÓW PÓL ELEKTROMAGNETYCZNYCH
WYKONANYCH DLA POTRZEB OCHRONY ŚRODOWISKA

Badany obiekt: Instalacja radiokomunikacyjna T-Mobile Polska S.A.
Numer i nazwa: 55131 (27131N!) KKI_KIELCE_GTELEGRAF
Adres: KIELCE DZ.11/2, Powiat m. Kielce, WOJ. ŚWIĘTOKRZYSKIE

Data wykonania pomiarów: 2024-06-12

Sprawozdanie z badań bez pisemnej zgody laboratorium nie może być powielane inaczej niż w całości.
Wynik przedstawione w niniejszym sprawozdaniu odnoszą się wyłącznie do badanego obiektu i do warunków i konfiguracji urządzeń w dniu wykonywania pomiarów.

1. Właściciel badanego obiektu:

T-Mobile Polska S.A., ul. Marynarska 12, 02-674 Warszawa

2. Zleceniodawca:

T-Mobile Polska S.A., ul. Marynarska 12, 02-674 Warszawa

3. Przedstawiciel zleceniodawcy:

NetWorks Sp. z o.o.

4. Zakres zlecenia:

Wykonanie badania i opracowanie sprawozdania z pomiarów natężenia pola elektrycznego i pola magnetycznego dla instalacji radiokomunikacyjnej T-Mobile Polska S.A. zlokalizowanej w miejscowości KIELCE DZ.11/2.

5. Cel zlecenia:

Wykonanie pomiarów pól elektromagnetycznych w otoczeniu instalacji radiokomunikacyjnej 55131 (27131N!) KKI_KIELCE_GTELEGRAF w odniesieniu do wymagań określonych w *Rozporządzeniu Ministra Klimatu z dnia 17 lutego 2020 r. w sprawie sposobów sprawdzania dotrzymania dopuszczalnych poziomów pól elektromagnetycznych w środowisku (Dz.U. 2022 poz. 2630)*.

6. Pomiary zostały wykonane przez:

Supernak Jacek
Stanisławek Jakub

7. Informacje o źródłach pól elektromagnetycznych

7.1. Sposób identyfikacji badanych źródeł pól elektromagnetycznych

Identyfikacji źródeł i parametrów technicznych dokonano na podstawie analizy dokumentacji dotyczącej zlecenia oraz obserwacji miejsca wykonywania badań.

7.2. Opis miejsca zainstalowania anten i urządzeń technicznych. Opis obiektu badań i jego otoczenia

Instalacja radiokomunikacyjna zlokalizowana jest na terenie ogrodzonym. Anteny zawieszono na wieży kratowej. Urządzenia sterujące oraz zasilające zainstalowano w pomieszczeniu u podstawy wieży. Wokół instalacji znajdują się tereny zielone.

Instalacja radiokomunikacyjna jest obiektem bezobsługowym. Okresowe stanowiska pracy związane są z prowadzonymi w zależności od potrzeb konserwacjami, przeglądami, strojeniem i naprawami.

Sprawozdanie z badań bez pisemnej zgody laboratorium nie może być powielane inaczej niż w całości.
Wynik przedstawione w niniejszym sprawozdaniu odnoszą się wyłącznie do badanego obiektu i do warunków i konfiguracji urządzeń w dniu wykonywania pomiarów.

7.3. Parametry techniczne źródła pola elektromagnetycznego

Dane przedstawiające maksymalne parametry pracy instalacji przekazane przez zleceniodawcę:

Parametry systemu nadawczo-odbiorczego:

Charakterystyka promieniowania		kierunkowa					
Rzeczywisty czas pracy [h/dobę]		24					
Warunki pracy		znamionowe					
Rodzaj wytwarzanego pola		stacjonarne					
Lp.	Częstotliwość lub zakresy częstotliwości pracy [MHz]	Typ/producent anteny	liczba anten	Azymut [°]	kąt pochyleńia [°]	Wysokość środka elektrycznego anteny [m n.p.t]	Równoważna moc promieniowana izotropowo (EIRP) [W]
1	800/900/1800/2100/2600	ASI4518R39v07 Huawei	1	110	0-12**/0-12**/0-12**/0-12**/0-12**	25	28660
2	3600	AAU5339W Huawei	1	110	-2-13**	25	28510
3	800/900/1800/2100/2600	ASI4518R39v07 Huawei	1	200	0-12**/0-12**/0-12**/0-12**/0-12**	25	28660
4	3600	AAU5339W Huawei	1	200	-2-13**	25	28510

* wskazane wartości kąta pochyleńia anten, zgodnie z informacją uzyskaną od zleceniodawcy, są wartościami stałymi

** pomiary wykonano zgodnie z pkt 13., ppkt 2 załącznika do Rozporządzenia Ministra Klimatu z dnia 17 lutego 2020 r. (Dz. U. 2022, poz. 2630).

Parametry radiolinii:

Charakterystyka promieniowania		kierunkowa					
Rzeczywisty czas pracy [h/dobę]		24					
Warunki pracy		znamionowe					
Rodzaj wytwarzanego pola		stacjonarne					
Lp.	Linia radiowa			Antena			
	Typ/Producent	Częstotliwość pracy [GHz]	Równoważna moc promieniowana izotropowo (EIRP) [W]	Typ/producent	Średnica anteny [m]	Azymut [°]	Wysokość zainstalowania n.p.t [m]
1.	NEC IPasolink 100E Harris Stratex	32	1996	VHLP2-32 Andrew	0.6	36	52.5
2.	NEC IPasolink 100E Harris Stratex	38	708	VHLP1-38 Andrew	0.3	131	51
3.	Huawei RTN 905S XMC-3 Huawei	32	502	A32S03M-3X Andrew	0.3	200	52
4.	NEC IPasolink 100E Harris Stratex	32	631	VHLP1-32 Andrew	0.3	304	52
5.	NEC IPasolink 100E Harris Stratex	38	15	VHLP1-38 Andrew	0.3	336	52.4
6.	RTN 380AX 70/80GHz 500MHz Huawei	80	5012	A80D06 Huawei	0.6	347	51.8

Sprawozdanie z badań bez pisemnej zgody laboratorium nie może być powielane inaczej niż w całości.
 Wynik przedstawione w niniejszym sprawozdaniu odnoszą się wyłącznie do badanego obiektu i do warunków i konfiguracji urządzeń w dniu wykonywania pomiarów.

7.4 Inne źródła pól elektromagnetycznych

Na podstawie informacji otrzymanych od użytkownika oraz obserwacji otoczenia miejsca wykonywania pomiarów stwierdzono występowanie innych źródeł pola-EM, pracujących w systemie: RTV (87,5MHz-790MHz), telefonii komórkowej (800MHz-2600MHz), niepublicznych sieci radiokomunikacyjnych (40MHz-470MHz), linii radiowych (5GHz - 90GHz), które istotnie wpływają na wyniki pomiarów.

8. Opis pomiarów

8.1. Metoda badań

Zgodna z rozporządzeniem Ministra Klimatu z dnia 17 lutego 2020 r. w sprawie sposobów sprawdzania dotrzymania dopuszczalnych poziomów pól elektromagnetycznych w środowisku (Dz.U. 2022 poz. 2630), określona w pkt 25 ppkt 1 załącznika do niniejszego rozporządzenia.

8.2. Termin pomiarów i warunki środowiskowe

Podczas wykonywania pomiarów pól elektromagnetycznych nie występowały opady atmosferyczne. Wyniki pomiaru parametrów pogodowych przedstawia poniższa tabela:

Data [rrrr-mm-dd]	Godzina [hh:mm-hh:mm]	Warunki środowiskowe			
		Temperatura [°C]		Wilgotność względna [%]	
2024-06-12	16:45-17:55	Przed pomiarem	Po pomiarach	Przed pomiarem	Po pomiarach
		16.1	15.8	63.2	62.8

Przedstawione wyżej warunki środowiskowe, występujące podczas wykonywania pomiarów pól elektromagnetycznych, są zgodne ze specyfikacją techniczną użytego zestawu pomiarowego.

8.3. Warunki pracy urządzeń nadawczych

Podczas pomiarów w przypadku uzyskania wyniku pomiaru szerokopasmowego wykonanego zastosowaną metodą, dla zakresów częstotliwości od 10 MHz do 300 GHz, powiększonego o rozszerzoną niepewność pomiaru U dla współczynnika rozszerzenia $k = 2$ przekraczającego 70% najniższej dopuszczalnej wartości składowej elektrycznej lub magnetycznej pola dla objętych pomiarami zakresów częstotliwości, uwzględnia się poprawki pomiarowe przekazane przez zleceniodawcę, umożliwiające uwzględnienie maksymalnych parametrów pracy instalacji zgodnie z pkt 7 załącznika do Rozporządzeniem Ministra Klimatu z dnia 17 lutego 2020 r. w sprawie sposobów sprawdzania dotrzymania dopuszczalnych poziomów pól elektromagnetycznych w środowisku (Dz. U. 2022, poz. 2630) zaznaczając, że wymagane jest wykonanie pomiaru z wykorzystaniem miernika selektywnego. W przypadku uzyskania wyniku pomiaru szerokopasmowego wykonanego zastosowaną metodą, dla zakresów częstotliwości od 10 MHz do 300 GHz, powiększonego o rozszerzoną niepewność pomiaru U dla współczynnika rozszerzenia $k = 2$ nieprzekraczającego 70% najniższej dopuszczalnej wartości składowej elektrycznej lub magnetycznej pola dla objętych pomiarami zakresów częstotliwości, nie uwzględnia się poprawek pomiarowych.

8.4. Wyposażenie pomiarowe

Zestaw pomiarowy służący do pomiaru natężenia składowej elektrycznej pola elektromagnetycznego złożony z szerokopasmowego miernika i sondy pomiarowej:

Oznaczenie miernika	Producent	Model	Numer fabryczny	Oznaczenie sondy	Producent	Model	Numer fabryczny
MF-02	Narda Safety Test Solution	Miernik pól elektromagnetycznych Narda FieldMan	B-0120	SF-03	Narda Safety Test Solution	Sonda EFD-6091	A-0061

Mierniki natężenia pola elektromagnetycznego podlegają okresowemu sprawdzeniu zgodnie z procedurą wewnętrzną P-03 i PB-01. Świadectwo wzorcowania zestawu pomiarowego z dnia 6 grudnia 2023 o numerze LWIMP/W/465/23 wydane przez Politechnika Wrocławską.

Data ważności świadectwa wzorcowania: 6 grudnia 2025 (zgodnie z procedurą wewnętrzną P-03).

Sprawozdanie z badań bez pisemnej zgody laboratorium nie może być powielane inaczej niż w całości.
Wynik przedstawione w niniejszym sprawozdaniu odnoszą się wyłącznie do badanego obiektu i do warunków i konfiguracji urządzeń w dniu wykonywania pomiarów.

Oznaczenie miernika	Producent	Model	Numer fabryczny	Oznaczenie sondy	Producent	Model	Numer fabryczny
MF-02	Narda Safety Test Solution	Miernik pól elektromagnetycznych Narda FieldMan	B-0120	SF-04	Narda Safety Test Solution	Sonda EFD-0691	A-0156

Mierniki natężenia pola elektromagnetycznego podlegają okresowemu sprawdzeniu zgodnie z procedurą wewnętrzną P-03 i PB-01. Świadectwo wzorcowania zestawu pomiarowego z dnia 6 grudnia 2023 o numerze LWIMP/W/465/23 wydane przez Politechnika Wrocławską.
 Data ważności świadectwa wzorcowania: 6 grudnia 2025 (zgodnie z procedurą wewnętrzną P-03).

Oznaczenie miernika	Producent	Model	Numer fabryczny	Oznaczenie sondy	Producent	Model	Numer fabryczny
MF-02	Narda Safety Test Solution	Miernik pól elektromagnetycznych Narda FieldMan	B-0120	SFM-02	Narda Safety Test Solution	Sonda HFD-0191	A-0075

Mierniki natężenia pola elektromagnetycznego podlegają okresowemu sprawdzeniu zgodnie z procedurą wewnętrzną P-03 i PB-01. Świadectwo wzorcowania zestawu pomiarowego z dnia 6 grudnia 2023 o numerze LWIMP/W/465/23 wydane przez Politechnika Wrocławską.
 Data ważności świadectwa wzorcowania: 6 grudnia 2025 (zgodnie z procedurą wewnętrzną P-03).

Termohigrometr:

Oznaczenie:	TH-29	Producent:	AZ INSTRUMENT CORP	Model:	Termohigrometr AZ8706
-------------	-------	------------	--------------------	--------	-----------------------

Data ważności świadectwa wzorcowania: 19 października 2025 (zgodnie z procedurą wewnętrzną P-03).

Dalmierz:

Oznaczenie	Producent	Typ	Numer seryjny	Nr świadectwa wzorcowania	Data świadectwa wzorcowania
D-05	Leica	Dalmierz Leica Disto X310	843960151	1146.5-M11-4180-396/15	8 kwietnia 2015

Data ważności świadectwa wzorcowania: 8 kwietnia 2025 (zgodnie z procedurą wewnętrzną P-03).

Odbiornik GNSS:

Odbiornik GNSS wbudowany w miernik natężenia pola elektromagnetycznego użyty podczas pomiarów	Producent	Model
	UBlox	NEO-M8T

Odbiorniki podlegają okresowemu sprawdzeniu zgodnie z procedurą wewnętrzną P-03.

9. Wyniki pomiarów

Pole elektryczne

Nr pionu	Opis umiejscowienia pionu (punktu) pomiarowego	Wysokość pomiaru [m]	Zmierzona wartość natężenia pola elektrycznego E [V/m] ^{1,5}			Wartość natężenia pola elektrycznego powiększona o niepewność pomiaru ⁴ E [V/m]	Wskaźnikowa wartość poziomu emisji pól elektromagnetycznych WM ³	Współrzędne geograficzne pionu (punktu) pomiarowego ²
			Sonda SF-03	Sonda SF-04	SUMA			
1	GKP w odległości 9m od anteny sektorowej az. 200° oraz anteny radioliniowej az. 200°	2.0	1.9	1.9	1.9	2.4	0.09	50°50'16.8" 20°38'32.6"
2	GKP w odległości 50m od anteny sektorowej az. 200° oraz anteny radioliniowej az. 200°	2.0	1.5	1.5	1.5	1.9	0.07	50°50'15.7" 20°38'31.9"
3	GKP w odległości 99m od anteny sektorowej az. 200°	0.3-2.0	<1.0*	<1.0*	<1.0*	1.3	0.05	50°50'13.9" 20°38'31.2"

Sprawozdanie z badań bez pisemnej zgody laboratorium nie może być powielane inaczej niż w całości.
 Wynik przedstawione w niniejszym sprawozdaniu odnoszą się wyłącznie do badanego obiektu i do warunków i konfiguracji urządzeń w dniu wykonywania pomiarów.

-	GKP w odległości 137m od anteny sektorowej az. 200°	0.3-2.0	<1.0*	<1.0*	<1.0*	1.3	0.05	50°50'12.8" 20°38'30.5"
5	GKP w odległości 14m od anteny sektorowej az. 110°	2.0	1.6	1.6	1.6	2.1	0.07	50°50'16.8" 20°38'33.7"
6	GKP w odległości 50m od anteny sektorowej az. 110°	0.3-2.0	<1.0*	<1.0*	<1.0*	1.3	0.05	50°50'16.4" 20°38'35.5"
7	GKP w odległości 101m od anteny sektorowej az. 110°	0.3-2.0	<1.0*	<1.0*	<1.0*	1.3	0.05	50°50'16.1" 20°38'37.7"
-	GKP w odległości 140m od anteny sektorowej az. 110°	0.3-2.0	<1.0*	<1.0*	<1.0*	1.3	0.05	50°50'15.4" 20°38'39.8"
9	GKP w odległości 49m od anteny radioliniowej az. 131°	0.3-2.0	<1.0*	<1.0*	<1.0*	1.3	0.05	50°50'16.1" 20°38'34.8"
10	GKP w odległości 15m od anteny radioliniowej az. 36°	2.0	1.5	1.5	1.5	1.9	0.07	50°50'17.5" 20°38'33.4"
11	GKP w odległości 47m od anteny radioliniowej az. 36°	0.3-2.0	<1.0*	<1.0*	<1.0*	1.3	0.05	50°50'18.2" 20°38'34.4"
12	GKP w odległości 16m od anteny radioliniowej az. 236° oraz 347°	0.3-2.0	<1.0*	<1.0*	<1.0*	1.3	0.05	50°50'17.5" 20°38'32.6"
13	GKP w odległości 45m od anteny radioliniowej az. 347°	0.3-2.0	<1.0*	<1.0*	<1.0*	1.3	0.05	50°50'18.6" 20°38'32.3"
14	GKP w odległości 49m od anteny radioliniowej az. 336°	2.0	1.2	1.3	1.2	1.6	0.06	50°50'18.6" 20°38'31.9"
15	GKP w odległości 12m od anteny radioliniowej az. 304°	0.3-2.0	<1.0*	<1.0*	<1.0*	1.3	0.05	50°50'17.2" 20°38'32.3"
16	GKP w odległości 50m od anteny radioliniowej az. 304°	2.0	1.2	1.2	1.2	1.5	0.06	50°50'17.9" 20°38'30.8"
17	PKP na az. 64° w odległości 47m od anteny sektorowej az. 110°	0.3-2.0	<1.0*	<1.0*	<1.0*	1.3	0.05	50°50'17.9" 20°38'35.2"
18	PKP na az. 80° w odległości 50m od anteny sektorowej az. 110°	0.3-2.0	<1.0*	<1.0*	<1.0*	1.3	0.05	50°50'17.2" 20°38'35.5"
19	PKP na az. 95° w odległości 45m od anteny sektorowej az. 110°	0.3-2.0	<1.0*	<1.0*	<1.0*	1.3	0.05	50°50'16.8" 20°38'35.2"
20	PKP na az. 125° w odległości 51m od anteny sektorowej az. 110°	0.3-2.0	<1.0*	<1.0*	<1.0*	1.3	0.05	50°50'16.1" 20°38'35.2"
21	PKP na az. 140° w odległości 44m od anteny sektorowej az. 110°	0.3-2.0	<1.0*	<1.0*	<1.0*	1.3	0.05	50°50'16.1" 20°38'34.4"

Sprawozdanie z badań bez pisemnej zgody laboratorium nie może być powielane inaczej niż w całości.
 Wynik przedstawione w niniejszym sprawozdaniu odnoszą się wyłącznie do badanego obiektu i do warunków i konfiguracji urządzeń w dniu wykonywania pomiarów.

22	PKP na az. 156° w odległości 52m od anteny sektorowej az. 110°	0.3-2.0	<1.0*	<1.0*	<1.0*	1.3	0.05	50°50'15.4" 20°38'34.1"
23	PKP na az. 154° w odległości 43m od anteny sektorowej az. 200°	0.3-2.0	<1.0*	<1.0*	<1.0*	1.3	0.05	50°50'15.7" 20°38'33.7"
24	PKP na az. 170° w odległości 52m od anteny sektorowej az. 200°	0.3-2.0	<1.0*	<1.0*	<1.0*	1.3	0.05	50°50'15.4" 20°38'33.4"
25	PKP na az. 185° w odległości 45m od anteny sektorowej az. 200°	2.0	1.2	1.2	1.2	1.5	0.06	50°50'15.7" 20°38'32.6"
26	PKP na az. 215° w odległości 47m od anteny sektorowej az. 200°	2.0	1.4	1.4	1.4	1.8	0.06	50°50'15.7" 20°38'31.6"
27	PKP na az. 230° w odległości 43m od anteny sektorowej az. 200°	2.0	1.9	1.9	1.9	2.4	0.09	50°50'16.1" 20°38'31.2"
28	PKP na az. 246° w odległości 46m od anteny sektorowej az. 200°	2.0	1.6	1.6	1.6	2.1	0.07	50°50'16.4" 20°38'30.5"

Pole magnetyczne (wyznaczone na podstawie pomiaru wartości natężenia pola elektrycznego)

Nr pionu	Opis umiejscowienia pionu (punktu pomiarowego)	Wysokość pomiaru [m]	Wartość natężenia pola magnetycznego H [A/m] ¹			Wartość natężenia pola magnetycznego powiększona o niepewność pomiaru ⁴ H [A/m]	Wskaźnikowa wartość poziomu emisji pól elektromagnetycznych WM _H ³	Współrzędne geograficzne pionu (punktu pomiarowego) ²
			Sonda SF-03	Sonda SF-04	SUMA			
1	GKP w odległości 9m od anteny sektorowej az. 200° oraz anteny radioliniowej az. 200°	2.0	0.005	0.005	0.005	0.006	0.09	50°50'16.8" 20°38'32.6"
2	GKP w odległości 50m od anteny sektorowej az. 200° oraz anteny radioliniowej az. 200°	2.0	0.004	0.004	0.004	0.005	0.07	50°50'15.7" 20°38'31.9"
3	GKP w odległości 99m od anteny sektorowej az. 200°	0.3-2.0	<0.003*	<0.003*	<0.003*	0.003	0.05	50°50'13.9" 20°38'31.2"
-	GKP w odległości 137m od anteny sektorowej az. 200°	0.3-2.0	<0.003*	<0.003*	<0.003*	0.003	0.05	50°50'12.8" 20°38'30.5"
5	GKP w odległości 14m od anteny	2.0	0.004	0.004	0.004	0.005	0.07	50°50'16.8" 20°38'33.7"

Sprawozdanie z badań bez pisemnej zgody laboratorium nie może być powielane inaczej niż w całości.
 Wynik przedstawione w niniejszym sprawozdaniu odnoszą się wyłącznie do badanego obiektu i do warunków i konfiguracji urządzeń w dniu wykonywania pomiarów.

	sektorowej az. 110°							
6	GKP w odległości 50m od anteny sektorowej az. 110°	0.3-2.0	<0.003*	<0.003*	<0.003*	0.003	0.05	50°50'16.4" 20°38'35.5"
7	GKP w odległości 101m od anteny sektorowej az. 110°	0.3-2.0	<0.003*	<0.003*	<0.003*	0.003	0.05	50°50'16.1" 20°38'37.7"
-	GKP w odległości 140m od anteny sektorowej az. 110°	0.3-2.0	<0.003*	<0.003*	<0.003*	0.003	0.05	50°50'15.4" 20°38'39.8"
9	GKP w odległości 49m od anteny radioliniowej az. 131°	0.3-2.0	<0.003*	<0.003*	<0.003*	0.003	0.05	50°50'16.1" 20°38'34.8"
10	GKP w odległości 15m od anteny radioliniowej az. 36°	2.0	0.004	0.004	0.004	0.005	0.07	50°50'17.5" 20°38'33.4"
11	GKP w odległości 47m od anteny radioliniowej az. 36°	0.3-2.0	<0.003*	<0.003*	<0.003*	0.003	0.05	50°50'18.2" 20°38'34.4"
12	GKP w odległości 16m od anteny radioliniowej az. 236° oraz 347°	0.3-2.0	<0.003*	<0.003*	<0.003*	0.003	0.05	50°50'17.5" 20°38'32.6"
13	GKP w odległości 45m od anteny radioliniowej az. 347°	0.3-2.0	<0.003*	<0.003*	<0.003*	0.003	0.05	50°50'18.6" 20°38'32.3"
14	GKP w odległości 49m od anteny radioliniowej az. 336°	2.0	0.003	0.003	0.003	0.004	0.06	50°50'18.6" 20°38'31.9"
15	GKP w odległości 12m od anteny radioliniowej az. 304°	0.3-2.0	<0.003*	<0.003*	<0.003*	0.003	0.05	50°50'17.2" 20°38'32.3"
16	GKP w odległości 50m od anteny radioliniowej az. 304°	2.0	0.003	0.003	0.003	0.004	0.06	50°50'17.9" 20°38'30.8"
17	PKP na az. 64° w odległości 47m od anteny sektorowej az. 110°	0.3-2.0	<0.003*	<0.003*	<0.003*	0.003	0.05	50°50'17.9" 20°38'35.2"
18	PKP na az. 80° w odległości 50m od anteny sektorowej az. 110°	0.3-2.0	<0.003*	<0.003*	<0.003*	0.003	0.05	50°50'17.2" 20°38'35.5"
19	PKP na az. 95° w odległości 45m od anteny sektorowej az. 110°	0.3-2.0	<0.003*	<0.003*	<0.003*	0.003	0.05	50°50'16.8" 20°38'35.2"
20	PKP na az. 125° w	0.3-2.0	<0.003*	<0.003*	<0.003*	0.003	0.05	50°50'16.1" 20°38'35.2"

Sprawozdanie z badań bez pisemnej zgody laboratorium nie może być powielane inaczej niż w całości.
 Wynik przedstawione w niniejszym sprawozdaniu odnoszą się wyłącznie do badanego obiektu i do warunków i konfiguracji urządzeń w dniu wykonywania pomiarów.

	odległości 51m od anteny sektorowej az. 110°							
21	PKP na az. 140° w odległości 44m od anteny sektorowej az. 110°	0.3-2.0	<0.003*	<0.003*	<0.003*	0.003	0.05	50°50'16.1" 20°38'34.4"
22	PKP na az. 156° w odległości 52m od anteny sektorowej az. 110°	0.3-2.0	<0.003*	<0.003*	<0.003*	0.003	0.05	50°50'15.4" 20°38'34.1"
23	PKP na az. 154° w odległości 43m od anteny sektorowej az. 200°	0.3-2.0	<0.003*	<0.003*	<0.003*	0.003	0.05	50°50'15.7" 20°38'33.7"
24	PKP na az. 170° w odległości 52m od anteny sektorowej az. 200°	0.3-2.0	<0.003*	<0.003*	<0.003*	0.003	0.05	50°50'15.4" 20°38'33.4"
25	PKP na az. 185° w odległości 45m od anteny sektorowej az. 200°	2.0	0.003	0.003	0.003	0.004	0.06	50°50'15.7" 20°38'32.6"
26	PKP na az. 215° w odległości 47m od anteny sektorowej az. 200°	2.0	0.004	0.004	0.004	0.005	0.07	50°50'15.7" 20°38'31.6"
27	PKP na az. 230° w odległości 43m od anteny sektorowej az. 200°	2.0	0.005	0.005	0.005	0.006	0.09	50°50'16.1" 20°38'31.2"
28	PKP na az. 246° w odległości 46m od anteny sektorowej az. 200°	2.0	0.004	0.004	0.004	0.005	0.07	50°50'16.4" 20°38'30.5"

GKP – Główny Kierunek Pomiarowy

PKP – Pomocniczy Kierunek Pomiarowy

¹ wyniki oznaczone * są wynikami poniżej czułości zestawu pomiarowego i są wynikami spoza zakresu akredytacji. Do obliczenia wyniku skorygowanego przyjęto wartość skorelowaną z rzeczywistym wynikiem pomiaru - dolną granicę akredytowanego zakresu pomiarowego metody

² współrzędne geograficzne pozyskane metodą pomiaru bezpośredniego

³ do wyznaczenia wartości wskaźnikowej W_{ME} i W_{MH} przyjęto na podstawie uzgodnień z klientem oraz rozpoznania źródeł, jako wartości dopuszczalne pola elektrycznego i magnetycznego odpowiednio 28 V/m i 0,073 A/m.

⁴ do wyznaczenia niepewności dla wyników poniżej czułości zestawu pomiarowego, przyjęto niepewność dla minimalnej wartości z zakresu pomiarowego.

⁵ maksymalna wartość chwilowa

Niepewność oszacowano zgodnie z dokumentem P-03 „Procedura nadzoru nad wyposażeniem” w postaci niepewności rozszerzonej wynikającej z niepewności standardowej pomnożonej przez współczynnik rozszerzenia $k=2$.

Całkowita szacowana niepewność rozszerzona składowej E wynosi odpowiednio:

sonda SF-03: 28.8% dla częstotliwości do 4 GHz, sonda SF-04: 24.4% dla częstotliwości do 4 GHz

Całkowita szacowana niepewność rozszerzona składowej H wynosi 25.7 %

Umieszczenie pionów (punktów) pomiarowych przedstawiono w załączniku nr 2 do niniejszego sprawozdania.

Sprawozdanie z badań bez pisemnej zgody laboratorium nie może być powielane inaczej niż w całości.

Wynik przedstawione w niniejszym sprawozdaniu odnoszą się wyłącznie do badanego obiektu i do warunków i konfiguracji urządzeń w dniu wykonywania pomiarów.

10. Omówienie wyników pomiarów

W związku z tym, że żadna z wartości zmierzonych, udokumentowanych w tabelach w pkt. 9, uzyskanych w skutek zastosowania pomiaru szerokopasmowego, powiększonego o rozszerzoną niepewność pomiaru U dla współczynnika rozszerzenia $k = 2$ nie przekroczyła 70% najniższej dopuszczalnej wartości składowej elektrycznej lub magnetycznej pola dla objętych pomiarami zakresów częstotliwości, nie uwzględnia się poprawek pomiarowych.

W wyniku zastosowania sposobu sprawdzenia dotrzymania dopuszczalnych poziomów pól elektromagnetycznych w środowisku, zgodnie pkt 25 ppkt 1 Rozporządzenia Ministra Klimatu z dnia 17 lutego 2020 r. (Dz. U. 2022, poz. 2630), w związku z tym, że żadna z wartości wskaźnikowych, udokumentowanych w tabelach w pkt. 9 nie przekracza wartości 1, stwierdza się, że w miejscach, w których wykonano pomiary w otoczeniu instalacji radiokomunikacyjnej 55131 (27131N!) KKI_KIELCE_GTELEGRAF, dopuszczalne poziomy pól elektromagnetycznych w środowisku należy uznać za dotrzymane.

11. Podstawa prawna

- 1) Ustawa z dnia 27 kwietnia 2001 r. Prawo ochrony środowiska (Dz.U. 2024 poz. 54)
- 2) Rozporządzenie Ministra Zdrowia z dnia 17 grudnia 2019 r. w sprawie dopuszczalnych poziomów pól elektromagnetycznych w środowisku (Dz. U. 2019, poz. 2448)
- 3) Rozporządzenie Ministra Klimatu z dnia 17 lutego 2020 r. w sprawie sposobów sprawdzania dotrzymania dopuszczalnych poziomów pól elektromagnetycznych w środowisku (Dz. U. 2022, poz. 2630),
- 4) Akredytacja nr AB 419 wydana przez Polskie Centrum Akredytacji (wydanie 22, z dnia 9 stycznia 2024 r.)

12. Spis załączników

- Załącznik 1. Lokalizacja obiektu badań
- Załącznik 2. Usytuowanie pionów (punktów) pomiarowych
- Załącznik 3. Dokumentacja fotograficzna obiektu badań

13. Data wydania i autoryzowania sprawozdania

Obliczenia i sprawozdanie wykonał :

Barbara Stelmaszyk
Elektronicznie podpisany
przez Barbara Stelmaszyk
Data: 2024.06.14 13:33:29
+02'00'

Sprawozdanie autoryzował:



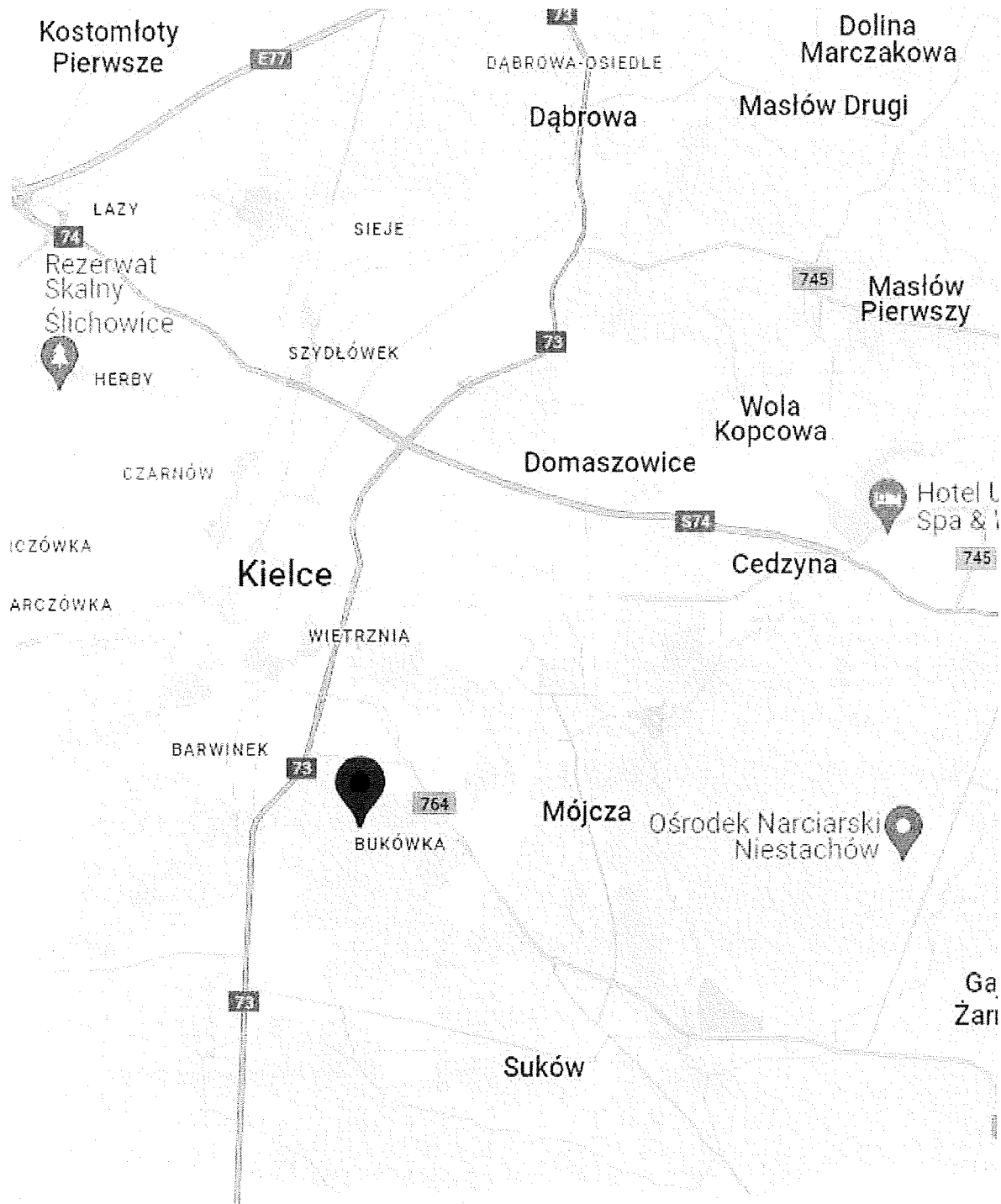
Signed by /
Podpisano przez:

Piotr Semrau

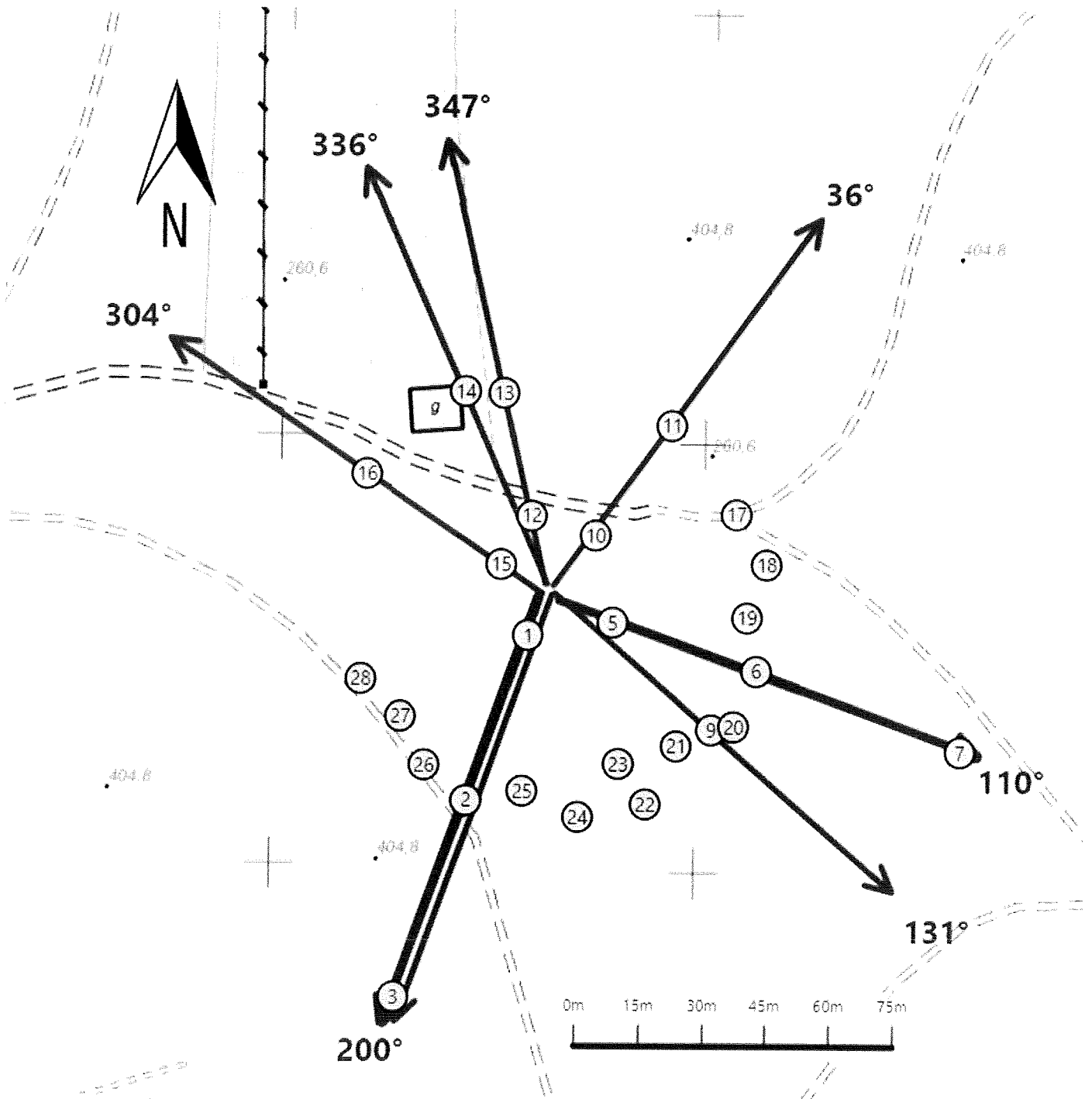
Date / Data:
2024-06-17
11:52





Koniec sprawozdania

Sprawozdanie z badań bez pisemnej zgody laboratorium nie może być powielane inaczej niż w całości.
Wynik przedstawione w niniejszym sprawozdaniu odnoszą się wyłącznie do badanego obiektu i do warunków i konfiguracji urządzeń w dniu wykonywania pomiarów.



Załącznik nr 1	Instalacja radiokomunikacyjna T-Mobile Polska S.A. 55131 (27131N!) KKI_KIELCE_GTELEGRAF Lokalizacja instalacji
----------------	--



Załącznik nr 2	Instalacja radiokomunikacyjna T-Mobile Polska S.A. KKI_KIELCE_GTELEGRAF (27131N!) Usytuowanie pionów pomiarowych w otoczeniu instalacji radiokomunikacyjnej
	Legenda: <div style="display: flex; justify-content: space-around; align-items: flex-start;"> <div style="text-align: center;">  Brak dostępu </div> <div style="text-align: center;">  Pion pomiarowy </div> <div style="text-align: center;">  Kierunek oddziaływania anten sektorowych </div> <div style="text-align: center;">  Kierunek oddziaływania anten radioliniowych </div> </div>